

# 细胞穿膜 - 靶向双肽修饰紫杉醇纳米制剂的制备、表征及体外抗胶质瘤评价

石姣姣 姜尧 梁珍 侯春英 张蕊 刘雁勇 杨楠 左萍萍

**摘要 目的** 以胶质瘤 U251 细胞为研究对象, 制备细胞穿膜 - 靶向双肽修饰的紫杉醇纳米制剂(TN - PTX), 研究其性质及体外抗肿瘤活性。**方法** 采用噬菌体展示技术体外筛选与 U251 细胞特异性结合的靶向肽; 界面沉淀法制备紫杉醇(PTX)纳米粒, 将靶向肽、细胞穿膜肽 TAT 修饰于其表面, 制备 TN - PTX; 对 TN - PTX 的粒径、Zeta 电位、载药量、形态外貌、体外释放等方面进行表征; CCK8 实验探讨 TN - PTX 对 U251 细胞增殖能力的影响。**结果** 筛选的靶向肽 HK 特异性良好, TN - PTX 的粒径为  $350.5 \pm 31.8\text{ nm}$ , Zeta 电位为  $-31.9 \pm 5.0\text{ mV}$ , 载药量为 5.01%, 形貌基本呈圆球形, 分布较均匀, 体外释放缓慢。PTX 浓度相同时, TN - PTX 对 U251 细胞的杀伤作用比 PTX 强。**结论** TN - PTX 性质稳定, 具有一定缓释作用, 在细胞水平对 U251 细胞具有更强的细胞毒性作用。

**关键词** 紫杉醇 纳米粒 靶向肽 细胞穿膜肽 胶质瘤

**中图分类号** R9      **文献标识码** A      **DOI** 10.11969/j.issn.1673-548X.2015.09.006

**Preparation, Characteristics and Anti-tumoral Efficacy *in vitro* of Cell Penetrating Peptide Modified Paclitaxel Targeted Nanoparticles.** Shi Jiaojiao, Jiang Yao, Liang Zhen, et al. Institute of Basic Medical Sciences Chinese Academy of Medical Sciences, School of Basic Medical Peking Union Medical College, Beijing 100005, China

**Abstract Objective** In order to prepare cell penetrating peptide modified paclitaxel PLGA targeted nanoparticles (TN - PTX), and evaluate the properties and the anti-tumoral efficacy of the nanoparticles *in vitro*. **Methods** The targeting peptide was specifically screened in human glioma U251 cells by phage display technology and paclitaxel (PTX) nanoparticles were prepared by the interfacial precipitation method. We successfully prepared a novel paclitaxel targeted nanoparticles modified with the targeting peptide and the cell penetrating peptide TAT by amide condensation reaction. Characteristics of TN - PTX, including particle size, Zeta potential, drug loadings, the morphological appearance, were investigated and the anti-tumoral efficacy of TN - PTX was also evaluated *in vitro*. **Results** The targeting peptide exhibited a good specificity to glioma. The particle size of TN - PTX was  $350.5 \pm 31.8\text{ nm}$ , and the Zeta potential was  $-31.9 \pm 5.0\text{ mV}$ , and drug loading was 5.01%. The morphology of TN - PTX is basically homogeneous sphere. *In vitro* inhibition study results indicated that TN - PTX exhibited more efficient inhibitory effects on the U251 cells than PTX with the same concentration of PTX. **Conclusion** TN - PTX possessed the stable properties and significantly inhibited the tumor proliferation than PTX *in vitro*.

**Key words** Paclitaxel; Nanoparticles; Targeting peptide; Cell penetrating peptide; Glioma

紫杉醇(paclitaxel, PTX)是一种抗微管药物, 能够促进微管蛋白聚合, 抑制其解聚, 抑制细胞有丝分裂和增殖, 从而发挥抗肿瘤作用。研究表明, 紫杉醇在治疗胸腺癌、肺癌、乳腺癌、脑部肿瘤等方面均有作用, 但其难溶于水, 限制了其临床应用<sup>[1-6]</sup>。纳米粒是由天然或合成高分子物质构成的 10~1000 nm 的固态胶体颗粒, 可作为运输药物的载体, 具有颗粒小、

比表面积大等特性, 能够提高药物生物利用度, 通过一定表面修饰还能改善其性质<sup>[6]</sup>。尽管具有上述优点, 传统纳米制剂因缺少靶向性而引起非特异性杀伤等不良反应。

胶质瘤是最常见的原发性中枢神经系统肿瘤, 具有浸润性生长、高侵袭性、预后差等特点, 其经典治疗方案是手术治疗、放射治疗联合化学治疗, 但是由于体内血-脑屏障的存在, 疗效仍然不尽人意。因此, 寻求更有效的治疗方案势在必行。

细胞穿膜肽(cell penetrating peptides, CPPs)能携带包括多肽、蛋白质、质粒 DNA、siRNA、纳米粒等物质进入细胞。其中, I 型人免疫缺陷病毒转录激活因

基金项目: 国家重点基础研究发展计划("973"计划)项目  
(2010CB934002)

作者单位: 100005 中国医学科学院基础医学研究所、北京协和医学院基础学院药理室

通讯作者: 左萍萍, 博士, 教授, 电子信箱: zuopp@126.com

子 TAT(human immunodeficiency virus - 1 transcription activator, HIV - I TAT)已被广泛研究,它不仅能穿透细胞膜,还能穿透血-脑屏障,利于体内运输。1985年Smith<sup>[7]</sup>建立噬菌体展示技术,已在抗原表位筛选、药物筛选、分子生物学等领域得到广泛应用,更是目前肿瘤靶向治疗靶标筛选的最常用方法<sup>[8~11]</sup>。本研究拟将细胞穿膜肽TAT、靶向肽作为纳米粒的两个修饰配体,改善纳米粒的性质。

本研究旨在运用噬菌体展示技术筛选与胶质瘤U251细胞特异性结合的靶向肽,用免疫组化法验证其靶向性,将靶向肽、细胞穿膜肽与紫杉醇纳米粒相连,制备细胞穿膜-靶向双肽修饰的紫杉醇纳米制剂,并对其进行表征和体外抗胶质瘤评价。

### 材料与方法

1. 细胞系:人胶质瘤U251细胞系购于中国医学科学院基础医学研究所细胞资源中心,培养于MEM-EBSS培养基(含10%胎牛血清)中,在37℃、5%CO<sub>2</sub>培养箱中培养,每隔3~4天传代。

2. 主要试剂及仪器:Ph. D.-7TM噬菌体展示肽库试剂盒(New EnglandBiolabs,美国),紫杉醇PTX(北京诺瑞医药技术有限公司),聚乳酸-羟基乙酸共聚物(poly lactic-co-glycolic acid,PLGA)、聚乙烯醇(polyvinyl alcohol,PVA)、丙酮(国药集团化学试剂有限公司),乙基二甲基胺丙基碳化二亚胺(EDC),N-羟基琥珀酰亚胺(NHS),聚乙二醇(PEG),CCK8试剂盒(日本Dojindo公司)。低温高速离心机(美国Sigma公司),荧光显微镜(日本Olympus公司),超声波细胞粉碎机(宁波新芝生物科技股份有限公司),激光散射粒度仪(英国Malvern公司),高效液相色谱仪(美国Waters公司),酶标仪(上海三科仪器有限公司)。

3. 噬菌体展示技术筛选靶向肽:(1)3轮淘选:培养皿中U251细胞加封阻液作用1h,0.1%TBST(Tris缓冲液+Tween)洗皿6次,加浓度为2×10<sup>11</sup>pfu(嗜菌斑形成单位数)噬菌体肽库液,温和摇动1h,0.1%TBST洗皿10次,加洗脱液,温和摇动1h,洗脱液用1mol/L Tris-HCl(pH 9.1)缓冲液中和,为一轮淘选洗脱物。洗脱物加入ER2738菌液37℃、250r/min振荡培养4.5h,4℃、10000r/min离心10min,取80%上清加1/6体积PEG/NaCl过夜;4℃、10000r/min离心15min,沉淀物重悬于TBS,4℃离心5min,上清加1/6体积PEG/NaCl,4℃离心10min,沉淀物重悬于TBS中,为扩增后洗脱物。测定扩增后洗脱物效价,计算下轮淘选相当于2×10<sup>11</sup>pfu的加入量。重复以上步骤2次进行3轮淘选。(2)提取DNA并测序:第3轮淘选的洗脱物不再扩增,提取噬菌体DNA,委托英潍捷基生物技术有限公司用-96gⅢ通用测序引物测序。(3)分析DNA序列:找出测序结果中出现次数最多的共有DNA序列。

4. 靶向肽的特异性验证:(1)取材制备石蜡切片:选取人

多形性胶质母细胞瘤组织、人星形细胞瘤组织、人少枝胶质细胞瘤组织、人的正常心、肝、脾、肺、肾组织制备石蜡切片。(2)免疫组织化学实验:石蜡切片经二甲苯脱蜡、梯度乙醇脱水;25μg/ml亲合素溶液孵育20min,PBS洗3次;滴加生物素标记的靶向肽,孵育90min,TBST洗3次;滴加异硫氰酸荧光素(FITC)标记的亲和素,孵育30min,TBST洗3次;滴加DAPI,抗荧光衰减封片剂封片,荧光显微镜下观察。

5. 界面沉淀法制备紫杉醇纳米粒:称取PTX 6mg、PLGA 60mg溶于3ml丙酮中(有机相),水相为30ml 1% PVA水溶液。冰浴条件下,边搅拌边逐滴将有机相加入水相中,1000r/min搅拌0.5h,再500r/min搅拌5h除去有机溶剂。4℃、15000r/min离心10min,超纯水洗涤沉淀3次,冷冻干燥。

6. 制备细胞穿膜-靶向双肽修饰的紫杉醇纳米制剂<sup>[12]</sup>:称取紫杉醇纳米粒0.06g,加60ml Activation Buffer(pH 6.0)超声重悬(功率200W),加0.024g EDC与0.036g NHS,室温搅拌30min,加过量靶向肽、细胞穿膜肽,冰浴搅拌4h,4℃、15000r/min离心10min,超纯水洗涤沉淀3次,冷冻干燥。

7. 细胞穿膜-靶向双肽修饰的紫杉醇纳米制剂的表征:(1)测粒径、Zeta电位:取适量纳米粒,加超纯水超声重悬,用激光散射粒度仪测定粒径及Zeta电位。(2)测载药量:称取定量纳米粒,用0.5ml色谱纯乙腈溶解,加10μl内标多西紫杉醇溶液,4℃、12000r/min离心10min,取上清,用高效液相色谱(HPLC)测PTX含量,计算载药量。(3)形貌观察:取适量纳米粒,超声重悬于超纯水中,稀释后均匀滴在铜网上并晾干,置于透射电子显微镜(TEM)下,观察形貌。(4)体外释放:10mg纳米粒超声重悬于3ml PBS(pH 7.4)中,转入透析袋并封口,置于200ml PBS(pH 7.4, 10mg/ml BSA)中,加200μl双抗,体系密闭,在37℃、100r/min不断搅拌的条件下进行释放,分别在1、2、4、6、8、12、24、48、72、96h取样1ml,同时补充等体积PBS(pH 7.4, 10mg/ml BSA),HPLC测PTX含量并计算释放率。等量PTX的释放方法同上(整个研究中所用的超声功率均为200W)。

8. CCK8试验:将U251细胞稀释成3×10<sup>4</sup>/ml的单细胞悬液,每孔100μl接种于96孔板,培养24h后分别加入5、20、80nmol/L的紫杉醇(PTX)、紫杉醇纳米粒(N-PTX)、细胞穿膜-靶向双肽修饰的紫杉醇纳米制剂(TN-PTX),平行3孔,孵育48h,每孔加10μl CCK-8溶液,温育1.5h后在450nm波长测吸光度值,重复该实验3次,统计细胞存活率。

### 结 果

1. 靶向肽筛选结果:在测序结果中找到两个酶切位点,分析酶切位点之间的七肽序列中出现次数最多的共有序列:NH<sub>2</sub>-His-Pro-Tyr-Ser-Thr-Ser-Lys-COOH(NH<sub>2</sub>-HPYSTSK-COOH, HK),拟作为靶向肽。

2. 靶向肽特异性验证结果:七肽HK能显著地与不同的人胶质瘤组织相结合,包括人多形性胶质母细

胞瘤、人星形胶质细胞瘤、人少枝胶质细胞瘤, 绿色荧光显著, 而阴性肽则未见结合(图 1)。此外并未观察

到七肽 HK 与正常人的心、肝、脾、肺、肾组织结合。以上结果表明七肽 HK 特异性良好, 可作为靶向肽。

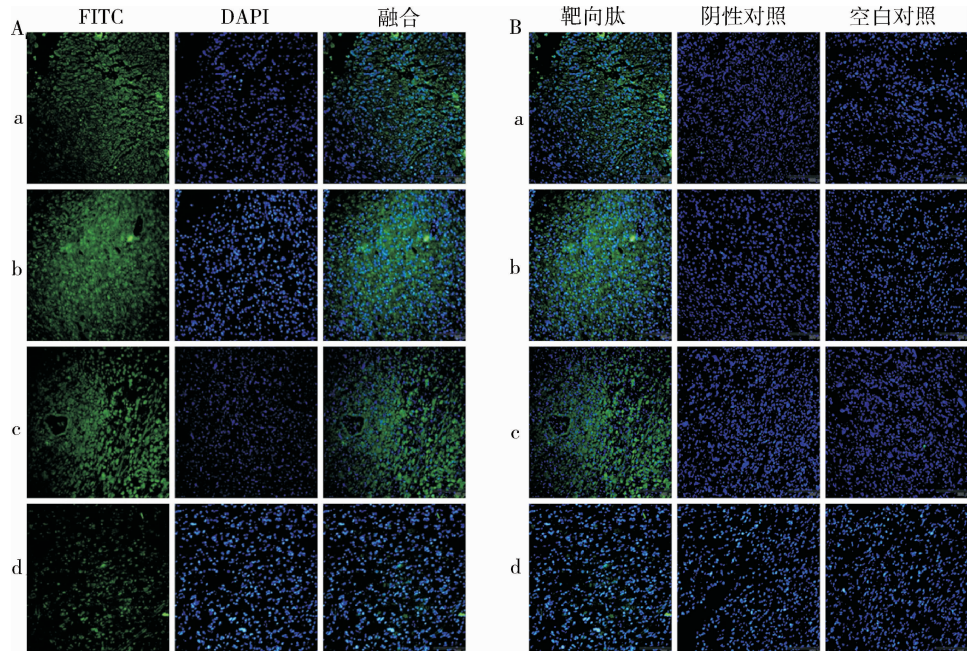


图 1 靶向肽 HK 与不同的人胶质瘤组织的结合情况

靶向肽 HK、阴性肽以生物素标记, 与组织相结合后, 再与连有 FITC 的亲和素特异性结合, 荧光显微镜下呈现绿色荧光。细胞核以 DAPI 染色, 呈现蓝色荧光。A. 融合前图片; B. 融合后图片。a. 人多形性胶质母细胞瘤; b. 人少枝胶质细胞瘤;c. 人星形胶质细胞瘤 I;d. 人星形胶质细胞瘤 II

3. 细胞穿膜 - 靶向双肽修饰的紫杉醇纳米制剂(TN - PTX)的制备及表征结果: 经激光散射粒度仪测定, TN - PTX 的粒径为  $350.5 \pm 31.8\text{ nm}$ ; 多分散系数 PDI 为  $0.224 \pm 0.034$ , 表明粒径分布集中;

Zeta 电位为  $-31.9 \pm 5.0\text{ mV}$ , 绝对值较大, 表明纳米粒较稳定。HPLC 测定 TN - PTX 的载药量为 5.01%。TEM 分析, 纳米粒形貌基本呈圆球形, 分布较均匀(图 2)。

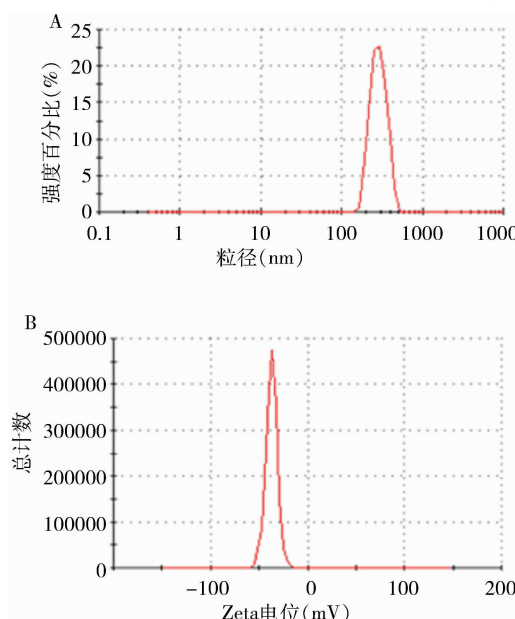
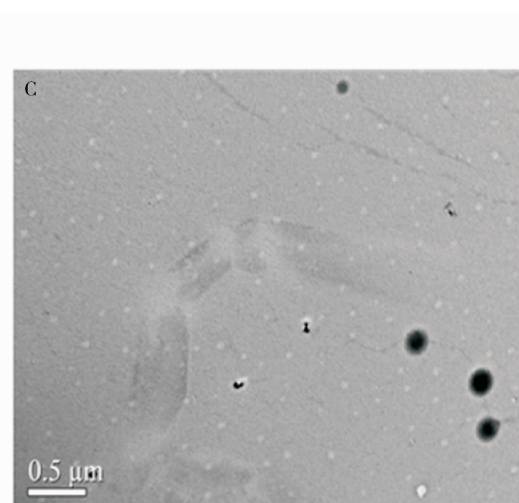


图 2 细胞穿膜 - 靶向双肽修饰的紫杉醇纳米制剂的粒径、Zeta 电位、形貌结果

A. 粒径强度分布; B. Zeta 电位分布; C. 形貌



4. 细胞穿膜 - 靶向双肽修饰的紫杉醇纳米制剂 (TN - PTX) 体外释放结果: 在 96h 内, PTX 释放率达到 80%, 而 TN - PTX 则释放缓慢, 释放率只有 50% (图 3), 表明 TN - PTX 具有一定的缓释作用。

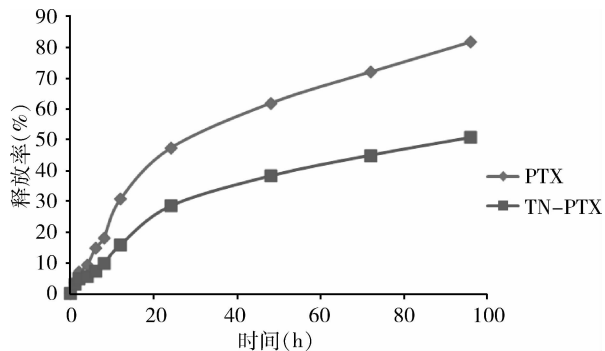


图 3 细胞穿膜 - 靶向双肽修饰的紫杉醇纳米制剂的体外释放结果

5. 细胞穿膜 - 靶向双肽修饰的紫杉醇纳米制剂 (TN - PTX) 的体外抗胶质瘤结果: 相同 PTX 浓度条件下作用 48h, TN - PTX 对 U251 细胞增殖的抑制作用比 PTX 高, 细胞存活率低, 说明能够降低 PTX 的有效使用剂量 (图 4)。

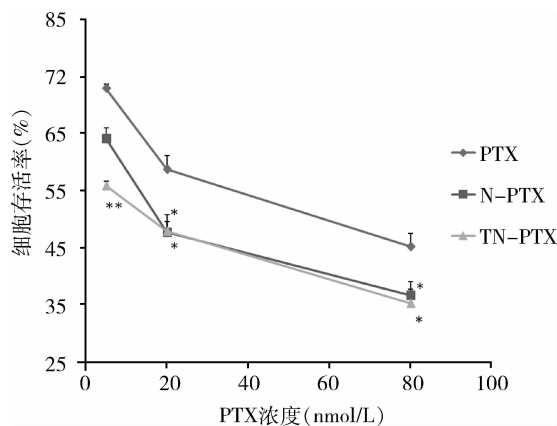


图 4 PTX、N-PTX、TN-PTX 对 U251 细胞增殖的抑制作用结果

与 DTX 相比, \*  $P < 0.05$ , \*\*  $P < 0.01$

## 讨 论

化学治疗是利用化学药物杀死肿瘤细胞、抑制肿瘤细胞生长繁殖和促进肿瘤细胞分化的一种治疗方式。近年来, 随着现代生物医药技术的日益发展, 化疗在胶质瘤临床应用中越来越重要。但化疗药物在发挥作用同时, 也会对机体正常细胞有不同程度毒性作用, 甚至产生严重的毒性不良反应<sup>[13]</sup>。如何使药物对肿瘤细胞产生特异性杀伤作用, 已成为急需解决

的问题。

本研究中, 笔者选择抗微管药物紫杉醇 (PTX) 作为抗胶质瘤药物。PTX 能与微管蛋白  $\beta$  亚基结合, 抑制微管蛋白解聚, 使细胞在有丝分裂时不能形成纺锤体和纺锤丝, 从而诱导细胞凋亡<sup>[14]</sup>。

利用噬菌体展示技术, 得到了一种能与人胶质瘤 U251 细胞特异性结合的靶向肽 HK ( $\text{NH}_2 - \text{HPYS TSK} - \text{COOH}$ )。将生物素标记的靶向肽 HK 与组织病理切片相结合, 再与 FITC 标记的亲和素相结合, 利用生物素 - 亲合素系统的信号放大作用观察 FITC 的绿色荧光强弱<sup>[15]</sup>。免疫组化结果显示, 靶向肽 HK 能与不同的人胶质瘤组织相结合, 可见到明显的绿色荧光, 而与正常人的心、肝、脾、肺、肾组织几乎没有结合或结合很弱, 说明筛选得到的靶向肽 HK 特异性较好。

调研发现, 界面沉淀法比超声乳化法制备的纳米粒粒径要小, 所以选用界面沉淀法将抗肿瘤药物 PTX 包裹于可生物降解的高分子有机化合物 PLGA 中制备纳米粒<sup>[16]</sup>。用丙酮溶解 PLGA 和 PTX, 因为丙酮能与水互溶, 两相接触时界面能降低, 随着丙酮向水相扩散, 有机相液滴减小, PLGA 溶解度降低从水相中固化析出, 形成纳米粒。载体 PLGA 含有羧基 (-COOH), 而靶向肽、细胞穿膜肽含有氨基 (-NH<sub>2</sub>), 笔者采用酰胺缩合反应, 将靶向肽、细胞穿膜肽连于紫杉醇纳米粒表面, 制备细胞穿膜 - 靶向双肽修饰的紫杉醇纳米制剂 (TN - PTX)<sup>[12]</sup>。

纳米粒的评价指标有粒径、Zeta 电位、载药量、外貌形态等。粒径是一个分布范围, 属于正态分布, 要尽可能减少其粒径跨距, 使其分布趋于均一。TN - PTX 粒径主要分布于 200 ~ 400 nm 之间, 平均  $350.5 \pm 31.8$  nm。多分散系数 (PDI) 表示粒径分布的范围集中与否。PDI 值为 0.08 ~ 0.70 表明体系分散度适中, PDI 越小, 说明粒子大小分布越集中。TN - PTX 的 PDI 值为  $0.224 \pm 0.034$ , 表明粒径分布较集中。Zeta 电位是表征胶体分散系稳定性的重要指标。粒子越小, Zeta 电位绝对值越高, 体系越稳定; 反之, Zeta 电位绝对值越低, 越倾向于凝聚, 分散系被破坏而发生凝聚。TN - PTX 的 Zeta 电位在 -30mV 左右, 绝对值较大, 表明该纳米粒较稳定。与 PTX 相比, TN - PTX 的释放过程还包括了药物从 PLGA 中释放出来的过程, 具有一定的缓释作用。

体外 CCK8 实验旨在探讨 TN - PTX 的细胞毒性作用。相同浓度 PTX (5 ~ 80 nmol/L) 条件下, TN -

PTX 作用于 U251 细胞 48h 后的细胞存活率低于 PTX, 表明此浓度范围内 TN - PTX 细胞毒性高于 PTX 单一应用, 降低了有效使用剂量, 使其能更好的发挥抗肿瘤作用。

综上所述, 细胞穿膜 - 靶向双肽修饰的紫杉醇纳米制剂性质稳定, 具有一定缓释作用, 在体外能抑制人胶质瘤 U251 细胞的增殖, 但其作用机制和体内动物实验水平还需要进行进一步的研究。

#### 参考文献

- 1 Soejima K, Naoki K, Ishioka K, et al. A phase II study of biweekly paclitaxel and carboplatin in elderly patients with advanced non - small cell lung cancer [J]. Cancer Chemother Pharmacol, 2015, DOI 10.1007/s00280-014-2673-8
- 2 Wang RH, Cao HM, Tian ZJ, et al. Efficacy of dual - functional liposomes containing paclitaxel for treatment of lung cancer [J]. Oncology Reports, 2015, 2(33): 783 - 791
- 3 Razi SS, Rehmani S, Li X, et al. Antitumor activity of paclitaxel is significantly enhanced by a novel proapoptotic agent in non - small cell lung cancer [J]. Journal of Surgical Research, 2014; 1 - 9
- 4 Alzoueibi M, Ramakrishnan S, Rennie I, et al. Use of systemic therapy in the treatment of choroidal metastases from breast cancer [J]. BMJ Case Rep, 2014, DOI 10.1136/bcr-2013-009088
- 5 Nance E, Zhang C, Shih TY, et al. Brain - penetrating nanoparticles improve paclitaxel efficacy in malignant glioma following local administration [J]. ACS Nano, 2014, 10(8): 10655 - 10664
- 6 Jiang X, Xin H, Sha X, et al. PEGylated poly(trimethylene carbonate) nanoparticles loaded with paclitaxel for the treatment of advanced glioma: in vitro and in vivo evaluation [J]. International Journal of Pharmaceutics, 2011, 2(420): 385 - 394
- 7 Smith GP. Filamentous fusion phage: novel expression vectors that display cloned antigens on the virion surface [J]. Science, 1985, 4705(228): 1315 - 1317
- 8 Shukla GS, Murray CJ, Estabrook M, et al. Towards a ligand targeted enzyme prodrug therapy: single round panning of a beta - lactamase scaffold library on human cancer cells [J]. International Journal of Cancer, 2007, 10(120): 2233 - 2242
- 9 Fu B, Zhang Y, Long W, et al. Identification and characterization of a novel phage display - derived peptide with affinity for human brain metastatic breast cancer [J]. Biotechnology Letters, 2014, 11(36): 2291 - 2301
- 10 Valetti S, Maione F, Mura S, et al. Peptide - functionalized nanoparticles for selective targeting of pancreatic tumor [J]. Journal of Controlled Release, 2014, 192: 29 - 39
- 11 Yang J, Kim SE, Cho M, et al. Highly sensitive and selective determination of bisphenol - A using peptide - modified gold electrode [J]. Biosensors & Bioelectronics, 2014, 61: 38 - 44
- 12 Yang N, Jiang Y, Zhang H, et al. Active targeting docetaxel - PLA nanoparticles eradicate circulating lung cancer stem - like cells and inhibit liver metastasis [J]. Molecular Pharmaceutics, 2015, 1(12): 232 - 239
- 13 Duncan R. The dawning era of polymer therapeutics [J]. Nature Reviews Drug Discovery, 2003, 5(2): 347 - 360
- 14 Kollipara S, Bende G, Movva S, et al. Application of rotatable central composite design in the preparation and optimization of poly(lactic - ) [J]. Drug Development and Industrial Pharmacy, 2010, 11(36): 1377 - 1387
- 15 Jung KH, Park JW, Paik JY, et al. EGF receptor targeted tumor imaging with biotin - PEG - EGF linked to (99m) Tc - HYNIC labeled avidin and streptavidin [J]. Nuclear Medicine and Biology, 2012, 8(39): 1122 - 1127
- 16 Danhier F, Lecouturier N, Vroman B, et al. Paclitaxel - loaded PEGylated PLGA - based nanoparticles: in vitro and in vivo evaluation [J]. Journal of Controlled Release, 2009, 1(133): 11 - 17

(收稿日期: 2015-01-29)

(修回日期: 2015-02-20)

## Aurora - A 在食管鳞癌及癌前病变中的表达特点和研究意义

韩旭 薛丽燕 沈笑 程贤 詹启敏 童彤

**摘要目的** 探讨极光激酶(aurora kinases A, Aurora - A)在食管鳞癌及癌前病变(主要为癌旁癌前病变)组织样本中的表达特征及其在食管鳞癌发生、发展过程中的作用。**方法** 应用组织芯片技术和免疫组织化学方法(S - P 法)检测 Aurora - A 在 9 例重度不典型增生组织和 122 例食管鳞癌组织以及它们的癌旁癌前病变组织中的表达情况; 并使用实时荧光定量 PCR 法检测 Aurora - A 基因在 8 对癌前病变组织和 5 对早期食管癌组织中的表达水平; 同时运用蛋白免疫印迹法和实时荧光定量 PCR 法检

基金项目: 国家重大科学计划基金资助项目(2010CB910703)

作者单位: 100021 北京协和医学院/中国医学科学院肿瘤医院分子肿瘤学国家重点实验室(韩旭、沈笑、程贤、詹启敏、童彤); 100021 北京协和医学院/中国医学科学院肿瘤医院病理科(薛丽燕)

通讯作者: 童彤, 电子信箱: tongt5@yahoo.com